

II-123 円形水路における自由流出口附近の流れについて

日本大学理工学部 正員 粟津清蔵 正員 ○近藤 効

§.1. まえがき

円形断面水路の流出口が free overfall type なつている場合のナップ(上面)の形状、出口での水面の曲率やこう配、圧力分布等について実験を基にして論じる。

§.2. 実験装置とその方法

実験に用いた円形断面水路は透明なアクリル製パイプで、粗度係数 0.0079、直半径 5, 7.5, 10cm、管長はハザード水頭 4m である。

これらの水路を一辺 70cm の立方体のタンクの鉛直な一面の中心に取り付け、こう配は $i = 0 \sim 0.05$ まで 0.01 刻みで 5 種類変えた。

水面形状はポイントゲージにより、流量はタンクに流入する前にオリフィスマーターを設けそれによると、水路下流端に設けた流量計によった。

圧力はピトーハウジングにより測定した。このピトーハウジングは上下方向に首が振れるようになっていて、測定点での流速が最大になる向き(すなわち流線方向)にして圧力を測定した。

§.3. 実験結果とその批判

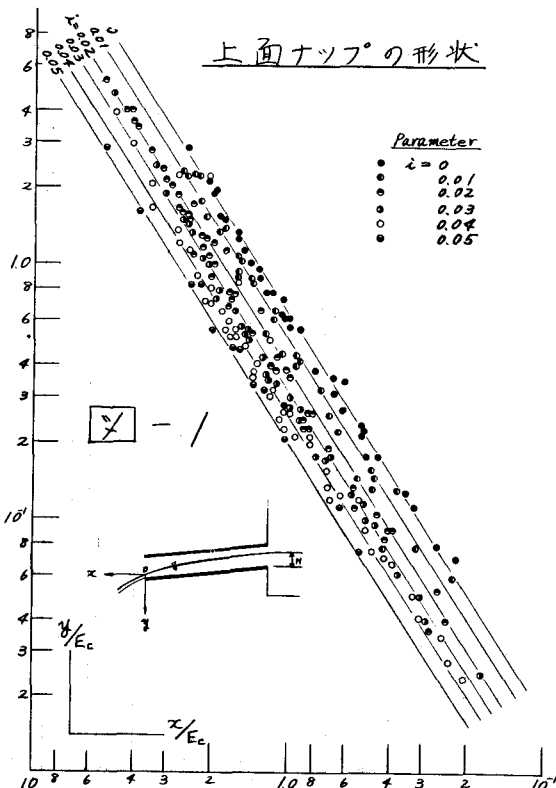
A) 上面ナップの形状について

流出口の水面に原点をとり、鉛直下方に y 軸、水平左方に x 軸をとり、水路中央に沿う上面ナップの座標を限界水深に対応する比エネルギー E_c を用いて無次元化して plot したのが図-1 である。

パラツキが矩形水路の刃形ゼキヤ free overfall のそれに比較して大きいか^(1,2)、 i を parameter としては直線関係になり、式化すると

$$\frac{y}{E_c} = 0.625 e^{-23.3i} \left(\frac{x}{E_c} \right)^{1.57}$$

パラツキの原因は、タンク内の水深 H の大小に



より種々の type の流れがあり、また水流が管の頂点を離れ水路となればそれが出口近くになると ($i < 0.006$ で $\theta^2/\theta_0^2 > 0.8$, θ : 流量, D : 管半径, g : 重力加速度) 流れは不安定となる上にその離水方の影響が流出口まで及ぶ⁽³⁾であろう。

b) 流出口での水面の曲率かよびこう配について

先ず、水路中央に沿うこれらを算出するためのデータは(1)と同様に座標を選び、流出口の上流かよび下流方向に 1 cm から 4 cm までの測定値を用い、水面形としては原点を通る 4 次曲線をあてはめ、その方程式より逆算した。

なお、水面こう配は水路こう配との相対的なこ

う配(この座標による水面に

う配一水路こう配)である。

これらを図に plot すると
図-2, 図-3 が得られる。

どちらも相当ばらついては
いるが(理由は a)と同様),
y_t を parameter とし, ほぼ
直線関係にあるようで, 次の
式でそれを近似されるよう。

$$\begin{aligned} \left(\frac{dy}{dx}\right)_t &= 0.186 \left(\frac{y_t}{D}\right)^{5.03} \\ &\times \left(\frac{\alpha^2}{g D^5}\right)^{1.37} \end{aligned}$$

$$y_t K_t = 0.413 + 1.31 \log \left(\frac{y_t}{D}\right) - 0.35 \log \left(\frac{\alpha^2}{g D^5}\right)$$

ここで, y: 水深, K: 水
面の曲率, 添字 t は流出口で
の値を示す。

c) 流出口の圧力分布および全圧力について
水路中央での圧力分布の流出口から 2 cm 方き
の断面の実験結果の一例を図-4 に示す。

これより, 流出口よりわざか上流ではほぼ静圧
分布を示してて, 実験の結果約 3% ~ 5% 以上
上流ではじく関係なく静圧分布であった。

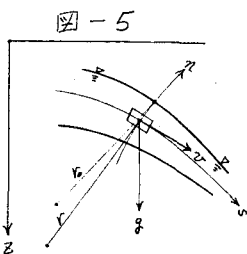
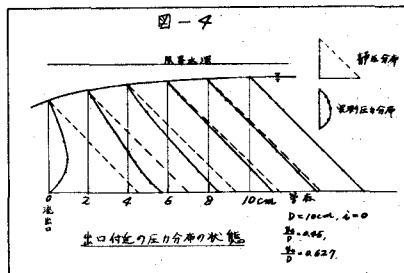
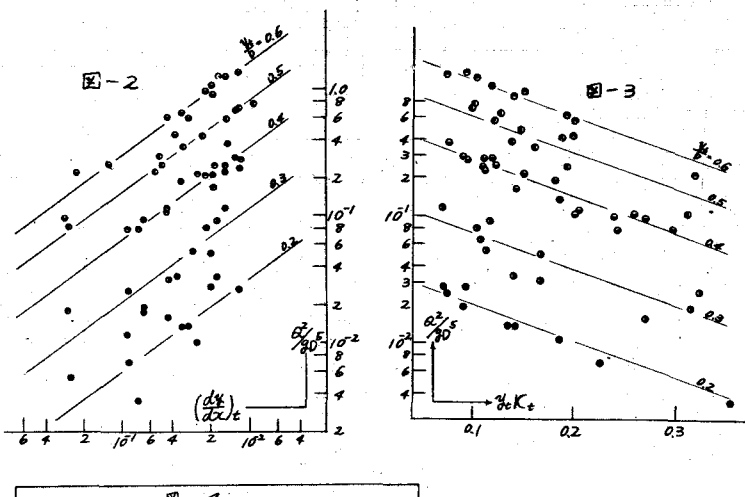
流出口でのこの静圧分布からの deviation はそ
こでは流線の曲りが著しいので, 遠心力の影響を
受け生ずる。

図-5 のような二次元流れにおいて, 流体の微
小部分の流線 S に垂直な方向の釣合いを考えると

$$\frac{P}{w} - Z = \frac{1}{g} \int \frac{v^2}{r} dr + \text{const.}$$

w: 水の単位重量, P: 圧力, r: 曲率半径,
Z: 上面の曲率半径, v: 流速。

ここで, この式の右辺を上面での遠心力(流速
は平均流速 \bar{v}) $\frac{\bar{v}^2}{g R}$ の函数とすると, 左辺は静水



圧力からの deviation

と見なせるから, こ
の deviation は $\frac{P-P_{\text{out}}}{w}$
の函数と考えられる
だろう。

これを円形断面水
路の流出口に応用し
断面内の圧力は水平
方向には中央でのそれと等しいとして plot した
のが図-6 であるが, 相関性を見出すのは無理
であろう。

v_t : 流出口の平均流速, P_t : 流出口の全圧力,

P_{out} : 静水圧分布を仮定した時の流出口の全圧力

$\frac{P_t}{P_{\text{out}}}$ の値は 0.2 ~ 0.4 の間で変化してて, その
平均は 0.27 であった。

1) 应用水理学中工(丸善)

2) 岩山喜: 侵襲水流の水理現象に関する実験的研究, 土木学会誌, 1953.

3) 萩津正蔵: 円形断面水路の自由流速について, 年譲第20~第23回

4) C.D. Smith: Brink Depth for a Circular Channel, proc. of ASCE, 1962.